

九州工業大学 工学部 正 浦 謙  
 大学院 単○ 松村 武彦  
 工学部 " 江口 尚  
 " " 川上 英人

1. はじめに 用いた水槽は、鉛直方向に成層化して密度端の自由表面が風が吹くと、密度界面を介して混合が生じる。そこで、筆者らは、比較的小規模の風洞水槽を用いて、密度界面の進行実験を行った。しかし、この進行現象を明らかにするためには、若き3端の空気と水の風・波界面、及び、密度界面である波・波界面、の2つの界面における運動量の輸送を評価する必要がある。本報告は、前者の現象に注目し、この風洞水槽を行って、風速と応力の関係、風速と波の関係について、主に、実験結果を述べる。

## 2. 実験装置 風洞水槽は、 $L \times H \times B = 600 \times 59 \times 20$ (cm)

で、風路高は 20(cm)、貯水部は全水深 39(cm)、長さ 55m である。実験は、貯水部から水道水を入れ、風速は、ファン回転数を調整するべくより変化させた。

実験条件と結果の一部を表 1<sup>1)</sup> によると示す。

## 3. 風速と応力の関係 外力として、水面

に加えられた風の剪断力:  $T_a$  は、空気摩擦速度:  $U_{\alpha}$  を用いて、 $T_a = S_a \cdot U_{\alpha}^2$  の関係式用ひることにより求めた。  
 $U_{\alpha}$  は、ピトー静圧管により測定した風速分布より得た。

また、代表風速として、対数分布則からはずれ 3 点の風速(境界層外縁風速):  $U_b$  を用いた。これは、風速の断面平均値とは等しい。図 1  $U_{\alpha}$  と  $U_b$  の関係を示した。

これより、 $U_{\alpha}$  と  $U_b$  は、風中の折線で近似できる 4 つの領域に分けることができる。また、風洞では、他の実験者の結果も示してあるが、これらに比して、 $U_b = 5 \sim 9$ (%) で、 $U_{\alpha}$  が大きな値となるのが特徴である。これは、吸送距離が短いことが主原因であるが、直線(1)から(4)への遷移領域が広く存在することを見出しが出来る。しかし、風洞<sup>2)</sup>の結果とは、同じ傾向を持つ。

## 4. 水表面変位のスペクトル 表面波は、吸送距離:

$F = 0.4, 1, 2, 3, 3.7$ (m) の位置で、風速を 3.5 ~ 12(m/s) に変えて、容積式波高計により

測定した。波高計の出力を、時間刻合:  $DT = 0.02$ (sec)、データ数:  $N = 2048$

として離散化し、FFT 法により、スペクトルを求めた。スペクトルヒートに対応する卓越周波数:  $f_m$  吸送距離:  $F$ 、空気摩擦速度:  $U_{\alpha}$  の関係を図 2 に示す。なお、図中の直線は、光易の式である。

同図において、実測値は、無次元摩擦速度:  $U_{\alpha}/\sqrt{F/g} < 10^{-1}$  において、光易の式から大きくはずれ、それらは  $F = 2$ m における代表風速:  $U_{b2} < 6.6$ (m/s) の時に発生する波であり、充分に発達した波に比べ、表面張力の影響を持つ、高周波の波であることが解る。

## 5. 表面波としての表面波特性

上述の方法で離散化した波高計の出力に、ゼロ・アップ・ロス法を用い、有義波高:  $H_{10}$ 、1/10 最大波高:  $H_{100}$ 、平均波高:  $\bar{H}$ 、さらに、水表面変位の rms 値:  $\eta'$  を求めた。

Table 1

SYMBOL	$F_w$ (cm)	$U_b$ (m/s)	$U_{\alpha}$ (cm/s)	$K_s$ (mm)	$\eta'$ (mm)	$H_{10}$ (mm)	$f_m$ (hz)	$C$ (cm/s)	$L$ (cm)
◎	42.5	7.53	53.3	1.72	0.97	3.33	7.82	26.8	3.43
▲	112.5	8.10	61.2	4.91	1.42	4.81	5.60	32.3	5.81
田	202.5	8.70	60.9	5.65	3.11	11.10	4.40	41.5	9.43
◆	297.0	8.70	60.8	5.08	3.89	14.20	3.81	47.1	12.35
▽	368.0	9.00	58.5	3.77	4.67	17.70	3.32	53.1	16.00
○	297.0	5.10	35.9	4.77	0.90	3.43	5.60	31.6	5.67
△	297.0	6.78	52.0	7.80	2.87	11.10	4.67	40.1	8.55
◆	297.0	11.05	80.8	8.04	5.94	22.30	3.13	57.5	18.40

Fig. 1

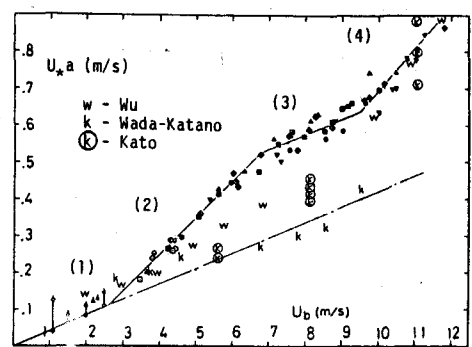
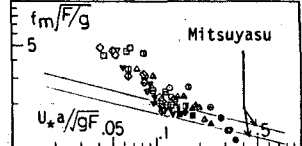


Fig. 2



$$H_{10} = 4.27 \text{ ft} \quad H_3 = 3.73 \text{ ft} \quad \bar{H} = 2.60 \text{ ft} \quad H_{10}/H_3 = 1.14 \quad H_3/\bar{H} = 1.44$$

の關係を得た。一方、海岸波は Rayleigh 分布に近く、

$$H_{10} = 5.08 \text{ ft} \quad H_3 = 4.00 \text{ ft} \quad \bar{H} = 2.50 \text{ ft} \quad H_{10}/H_3 = 1.27 \quad H_3/\bar{H} = 1.60$$

といわれている。これより、波の輸送が、海岸に比べて抑制されることが解る。さらに、有義周期:  $T_{10}$ ,  $K$  について,  $T_{10} = 1/(1.05 S_m)$  の關係が得られた。有義波は最も高いエネルギーを持つ成分波であることが解る。そこで、 $Ub_2$  と各吹送距離における  $H_{10}$  の關係を図3に示した。これより、波高は  $Ub_2$  が 3.0% を越えると増加し始めます。 $Ub_2 = 4 \sim 7\%$  の波高の輸送は、 $Ub_2 > 7\%$  に比べて、小さいことが解る。次に、表面張力の影響を考慮して、有限振幅波の波速の式は、次の様に表わせられる。

$$C^2 = \frac{T}{w_0} \cdot \frac{2\pi g}{L} + \left\{ 1 + \left( \frac{\pi H}{L} \right)^2 \frac{8 + \cosh(2\pi R/L)}{8[\cosh(2\pi R/L)]^2} \right\} \frac{g L}{2\pi} \tanh \frac{2\pi R}{L}, \quad C = L/T = L \cdot S_m$$

ここで、 $T$ : 表面張力,  $w_0$ : 水の単位体積重量,  $L$ : 波長,  $H$ : 波高,  $R$ : 水深  
上式に、有義波について得られた  $H_{10}$ ,  $S_m$  を用いて、繰り返し計算により、 $C$  と  $L$  を求めた。図4に有義波の波長と風速の關係を示す。これより、 $L = 5 \text{ cm}$  以下では波長の増加率が小さく、それ以上では急になる。この臨界波長は、表面張力の影響が重力の 1 割以下に付する波長 ( $L_c = 5.4 \text{ cm}$ ) とほぼ等しい。そして、 $Ub_2 = 4\%$  で水路半分以上、 $Ub_2 = 9.5\%$  で、ほぼ全吹送距離において重力波となるといえる。

6. 表面波と粗度の關係 表表面近傍の風速分布が、対数分布則に従うとすれば水表面の粗さのパラメータ:  $Z_0$  は、次の様に表わせられる。

$$Z_0 = Z \exp(-kL/U_{10}) \quad \text{ここで } U: \text{高さ } Z \text{ における風速} \\ k: \text{Karman 定数}$$

これより、相当粗度:  $k_{st}$  は、近似的に、完全粗面に対する  $k_{st} = 33 Z_0$ 、遷移領域では  $k_{st} = 33(\ln Z_0 + 1/0.43/k_{st})$  として求まる。図5に  $k_{st}$  と  $Z$  の關係を示す。

また、図6に  $Z$  と  $k_{st}$  の關係を、波形勾配:  $\eta'/L$  で表わした。これより、

低風速で表面張力の影響を受ける時は、風に対して個々の水表面の凹凸が、形状抵抗として効いて、 $k_{st}/\eta' = 8$  となるが、波が発達して重力波となると、波形勾配  $\eta'/L = 0.035$ , ( $\bar{H}/L = 0.1$ ) となり、 $k_{st}/\eta'$  は、1.0~1.3 とぼろぼろである。

7. 結論 以上より、本風洞水槽は吹送距離が短いため、低風速で発生する波は、表面張力の影響を持つ高周波の波であり、空気に対する粗さの効果が大きくなる。高風速では、重力波となり、空気に対する粗さは小さく、ほぼ一定値となる。

さらに、図1に示した4つの領域は、(1): 風の剪断力が全て水の剪断力となる領域、(2): 表面張力波から重力波への輸送過程で、風の剪断力のうち、波の形成に費やされた割合が増加する領域、(3): 重力波の発生とともに、表面張力の影響が次第に弱くなる領域、(4): 水路全域で重力深水波となり、風の剪断力の一部が波の堆積に、大部分が吹送流に費やされる領域、である。最後に、本研究に對し御指導、御助言、御参考された九州大学工学部 梶東一郎教授へ、深大なる謝意を表わします。

(参考文献) 1) 濑・松村; 九州工業大学研究報告 No.44 (1982)

2) Kunishi; 京大防災研究所年報 Bulletin No.61 March, 1963

Fig.3

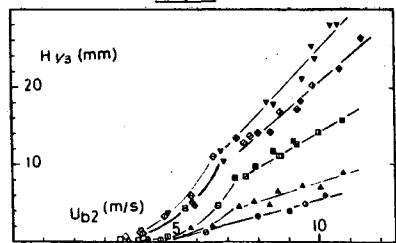


Fig.4

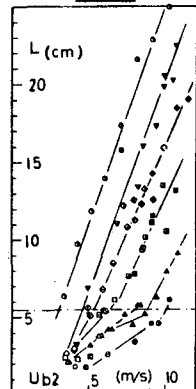


Fig.5

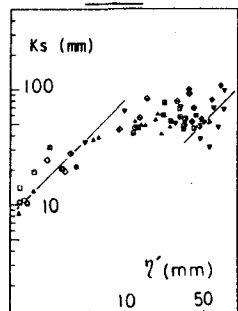


Fig.6

